

## Отчёт по практическому заданию №2.

*Ю. Н. Лукашкина*

[julialukashkina@gmail.ru](mailto:julialukashkina@gmail.ru)

МГУ имени М. В. Ломоносова, Москва

27 ноября 2016 г.

### Аннотация

Данный документ содержит отчет по практической работе №2 курса «Суперкомпьютерное моделирование и технологии» ВМК МГУ.

## 1 Математическая постановка задачи

В прямоугольной области

$$\Pi = [A_1, A_2] \times [B_1, B_2]$$

требуется найти дважды гладкую функцию  $u = u(x, y)$ , удовлетворяющую дифференциальному уравнению

$$-\Delta u = F(x, y), \quad A_1 < x < A_2, B_1 < y < B_2 \quad (1)$$

и дополнительному условию

$$u(x, y) = \varphi(x, y) \quad (2)$$

во всех граничных точках  $(x, y)$  прямоугольника. Оператор Лапласа  $\Delta$  определён равенством:

$$\Delta u = \frac{\partial^2 u}{\partial x^2} + \frac{\partial^2 u}{\partial y^2}$$

$$F(x, y) = (x^2 + y^2) \sin(xy), \quad \varphi(x, y) = 1 + \sin(xy),$$

Прямоугольник  $\Pi = [0, 2] \times [0, 2]$ .

Было подобрано точное решение задачи Дирихле:  $u(x, y) = 1 + \sin(xy)$ .

## 2 Численный метод решения задачи

В расчётной области  $\Pi$  определяется прямоугольная сетка

$$\bar{\omega}_h = \{(x_i, y_j), i = 0, 1, \dots, N_1, j = 0, 1, \dots, N_2\},$$

где  $A_1 = x_0 < x_1 < x_2 < \dots < x_{N_1} = A_2$  — разбиение отрезка  $[A_1, A_2]$  оси  $(ox)$ ,  $B_1 = y_0 < y_1 < y_2 < \dots < y_{N_2} = B_2$  — разбиение отрезка  $[B_1, B_2]$  оси  $(oy)$ .

Через  $\omega_h$  обозначим множество внутренних, а через  $\gamma_h$  — множество граничных узлов сетки  $\bar{\omega}_h$ . Пусть  $h_i^{(1)} = x_{i+1} - x_i, i = 0, 1, \dots, N_1 - 1$ ,  $h_j^{(2)} = y_{j+1} - y_j, j = 0, 1, \dots, N_2 - 1$  — переменный шаг сетки по оси абсцисс и ординат соответственно. Средние шаги сетки определяются равенствами:

$$h_i^{(1)} = 0.5(h_i^{(1)} + h_{i-1}^{(1)}), \quad h_j^{(2)} = 0.5(h_j^{(2)} + h_{j-1}^{(2)})$$

Рассмотрим линейное пространство  $H$  функций, заданных на сетке  $\omega_h$ . Будем считать, что в пространстве  $H$  задано скалярное произведение и максимум норма

$$(u, v) = \sum_{i=1}^{N_1-1} \sum_{j=1}^{N_2-1} \bar{h}_i^{(1)} \bar{h}_j^{(2)} u_{ij} v_{ij}, \quad \|u\| = \max_{\substack{0 < i < N_1 \\ 0 < j < N_2}} |u_{i,j}| \quad (3)$$

где  $u_{ij} = u(x_i, y_i)$ ,  $v_{ij} = v(x_i, y_j)$  — любые функции из пространства  $H$ .

Для аппроксимации уравнения Пуассона (1) воспользуемся пятиточечным разностным оператором Лапласа, который во внутренних узлах сетки определяется равенством:

$$-\Delta_h p_{ij} = \frac{1}{\bar{h}_i^{(1)}} \left( \frac{p_{ij} - p_{i-1j}}{\bar{h}_{i-1}^{(1)}} - \frac{p_{i+1j} - p_{ij}}{\bar{h}_i^{(1)}} \right) + \frac{1}{\bar{h}_j^{(2)}} \left( \frac{p_{ij} - p_{ij-1}}{\bar{h}_{j-1}^{(2)}} - \frac{p_{ij+1} - p_{ij}}{\bar{h}_j^{(2)}} \right).$$

Здесь предполагается, что функция  $p = p(x_i, y_i)$  определена во всех узлах сетки  $\bar{\omega}_h$ .

Приближенным решением задачи (1), (2) называется функция  $p = p(x_i, y_j)$ , удовлетворяющая уравнениям

$$-\Delta_h p_{ij} = F(x_i, y_j), \quad (x_i, y_j) \in \omega_h, \quad p_{ij} = \varphi(x_i, y_j), \quad (x_i, y_j) \in \gamma_h. \quad (4)$$

Эти соотношения представляют собой систему линейных алгебраических уравнений с числом уравнений равным числу неизвестных и определяют единственным образом неизвестные значения  $p_{ij}$ . Совокупность уравнений (4) называется разностной схемой для задачи (1), (2).

Приближенное решение системы уравнений (4) может быть получено методом сопряжённых градиентов. Начальное приближение  $p^{(0)}$  и первая итерация  $p^{(1)}$  вычисляются так:

$$p_{ij}^{(0)} = \varphi(x_i, y_j), \quad (x_i, y_j) \in \gamma_h,$$

во внутренних узлах сетки  $p_{ij}^{(0)}$  — любые числа. Метод является одношаговым. Итерация  $p^{(k+1)}$  вычисляется по итерации  $p^{(k)}$  согласно равенствам:

$$p_{ij}^{(k+1)} = p_{ij}^{(k)} - \tau_{k+1} g_{ij}^{(k)}, \quad k = 1, 2, \dots$$

Здесь

$$\tau_{k+1} = \frac{(r^{(k)}, g^{(k)})}{(-\Delta_h g^{(k)}, g^{(k)})},$$

вектор

$$g_{ij}^{(k)} = r_{ij}^{(k)} - \alpha_k g_{ij}^{(k-1)}, \quad k = 1, 2, \dots,$$

$$g_{ij}^{(0)} = r_{ij}^{(0)},$$

коэффициент

$$\alpha_k = \frac{(-\Delta_h r^{(k)}, g^{(k-1)})}{(-\Delta_h g^{(k-1)}, g^{(k-1)})}.$$

Вектор невязки  $r^{(k)}$  вычисляется по следующим формулам:

$$r_{ij}^{(k)} = -\Delta_h p_{ij}^{(k)} - F(x_i, y_j), (x_i, y_j) \in \omega_h, \quad r_{ij}^{(k)} = 0, (x_i, y_j) \in \gamma_h.$$

Итерационный процесс останавливается, как только

$$\|p^{(n)} - p^{(n-1)}\| < \varepsilon,$$

по евклидовой норме, где *epsilon* — заранее выбранное положительное число (*epsilon* = 10<sup>-4</sup>).

### 3 Описание работы по созданию MPI / OpenMP реализации

Все операции, кроме вычисления разностного оператора Лапласа, производятся независимо для каждого элемента матрицы. Это позволяет эффективно распараллелить работу с матрицами по процессорам, каждый из которых будет работать только с своей частью исходной матрицы. Для вычисления величин, которые требуют всю матрицу (таких как норма, скалярное произведение двух матриц и т.д.), процессоры будут синхронизироваться. Распараллеливание матрицы будет происходить по блокам/клеткам.

Чтобы корректно производить вычисление разностного оператора Лапласа каждый процессор кроме своей части матрицы будет хранить ещё граничные строки и столбцы. То есть одну предыдущую и одну последующую строчки относительно выделенных ему собственных строк (для процессоров, работающих с граничными частями матрицы соответствующие строки всегда будут пустыми). Аналогично будут храниться и дублирующие столбцы. Перед и после каждой операции подсчёта разностного оператора Лапласа процессоры будут обмениваться этими пограничными строками и столбцами.

#### 3.1 Разделение матрицы

Исходная матрица делится между процессорами на клетки примерно одинакового размера. Для вычисления количества клеток по каждой из размерностей матрицы была использована функция `SplitFunction`, прилагающаяся к заданию. Число процессоров *p* является входным параметром и должно быть степенью двойки  $p = 2^{power}$ . Данную степень можно представить в следующем виде:  $power = p_1 + p_2$ , где  $2^{p_1}, 2^{p_2}$  — число процессоров по первой и второй размерностям матрицы соответственно.

#### 3.2 MPI

Были использованы следующие функции:

- Для вычисления максимум нормы и подсчёта суммы.

`MPI_Allreduce (...);`

- Для обмена строками матрицы.

`MPI_Sendrecv (...);`

- Для подсчёта времени.

`MPI_Wtime();`

#### 3.3 OpenMP

Были использованы следующие директивы:

- Для распараллеливания цикла.

`#pragma omp parallel for`

- Для подсчёта суммы.

`#pragma omp parallel for reduction(+:sum)`

- Для оформления критической секции программы.

`#pragma omp critical`

**Таблица 1.** Таблица с результатами расчётов на ПВС IBM Blue Gene/P

Число процессоров $N_p$	Число точек сетки $N^3$	Время решения $T$	Ускорение $S$	Эффективность
32	$1000 \times 1000$	100.291		
128	$1000 \times 1000$	26.2803	3.82	0.96
256	$1000 \times 1000$	13.9082	7.21	0.90
512	$1000 \times 1000$	7.46693	13.43	0.84
32	$2000 \times 2000$	787.29		
128	$2000 \times 2000$	201.831	3.90	0.98
256	$2000 \times 2000$	102.624	7.67	0.96
512	$2000 \times 2000$	52.2764	15.06	0.94

### 3.4 Вывод результатов программы

Результатом работы программы является вывод в консоль времени работы программы и погрешности решения. Также каждый процессор сохраняет в отдельные файлы свои части получившейся приближенной матрицы решения и матрицы точного решения.

## 4 Результаты расчётов

### 4.1 Blue Gene/P

Для ПВС IBM Blue Gene/P ускорение рассчитывалось относительно 32 узлов. По таблице 1 видно, что реализованная программа распараллеливается хорошо. Для сетки из 1000 точек минимальная эффективность = 0.84, для сетки из 2000 точек = 0.94. На сетке большего размера достигается большее ускорение и эффективность в среднем выше. На обеих сетках эффективность уменьшается с ростом числа процессоров.

Гибридная реализация MPI/OpenMP (см. таблицу 2) по времени работает в  $\approx 1.3$  быстрее, чем просто MPI версия. Ускорение  $S_2$  (относительно 32 процессоров, негибридная реализация) также примерно в 1.3 выше, чем у негибридной программы. Однако значение ускорения ( $S_1$ ) и эффективности хуже, чем у MPI реализации. С увеличением числа процессоров эффективность всё больше удаляется от 1, на 512 процессорах эффективность значительно падает. Это, скорее всего, связано с тем, что размер клетки, выделяемой каждому процессору становится всё меньше и накладные расходы на управление потоками не компенсируются полученным ускорением. Этот эффект особенно хорошо заметен на сетке из 1000 точек.

### 4.2 ПВС «Ломоносов»

Для ПВС «Ломоносов» ускорение рассчитывалось относительно одного процессора (см. таблицу 3). На обеих сетках для небольшого числа процессоров эффективность примерно одинаковая. Значения ускорения на сетках в 1000 и 2000 узлов для небольшого числа процессоров отличаются незначительно. При конфигурации запуска с 128 процессорами и 1000 узлами эффективность ощутимо уменьшается. Это связано с тем, что затраты на передачу информации между процессорами становятся слишком высокими. На сетке в 2000 узлов для конфигурации с 128 процессорами размер клетки, выделяемой каждому процессору, в 2 раза больше, чем на сетке в 1000 узлов и эффективность не сильно отклоняется от средней.

### 4.3 Blue Gene/P (MPI реализация) и ПВС «Ломоносов»

При одинаковом числе процессоров время работы на ПВС «Ломоносов» значительно меньше, чем на Blue Gene/P. Для 32 процессоров  $\approx 14$  и 116 против  $\approx 100$  и 787. Для 128 процессоров  $\approx 4$  и 30 против  $\approx 26$  и 102. Значение эффективности в среднем выше на Blue Gene/P.

## 5 Рисунки решения

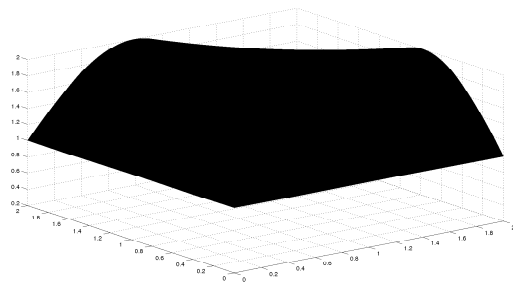
На рисунке 1 представлены точное и приближенное решение на сетке в 2000 точек. Погрешность решения составила 0.00784845. Сбор и построение целой матрицы по сохраненным каждым процессором части производился в matlab. Рисунки также были построены в matlab.

**Таблица 2.** Таблица с результатами расчётов на ПВС IBM Blue Gene/P гибридной программы MPI/OpenMP. Ускорение  $S_1$  относительно гибридной программы с 32 процессорами, ускорение  $S_2$  относительно негибридной программы с 32 процессорами

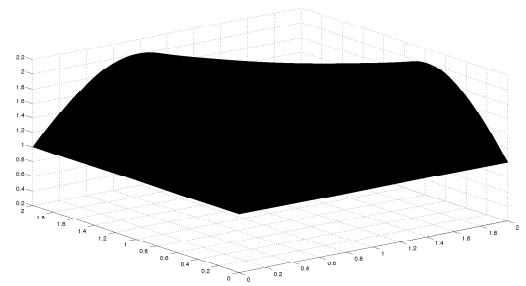
Число процессоров $N_p$	Число точек сетки $N^3$	Время решения $T$	Ускорение $S_1$	Эффективность	Ускорение $S_2$
32	$1000 \times 1000$	69.6141			1.44
128	$1000 \times 1000$	18.4298	3.78	0.95	5.44
256	$1000 \times 1000$	10.06	6.92	0.86	9.97
512	$1000 \times 1000$	7.5553	9.20	0.58	13.27
32	$2000 \times 2000$	481.0016			1.64
128	$2000 \times 2000$	123.512	3.89	0.97	6.37
256	$2000 \times 2000$	64.0308	7.51	0.94	12.29
512	$2000 \times 2000$	38.2781	12.56	0.78	20.57

**Таблица 3.** Таблица с результатами расчётов на ПВС «Ломоносов»

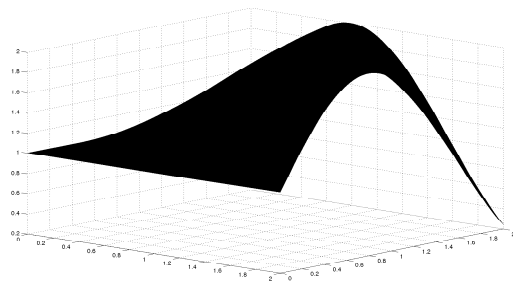
Число процессоров $N_p$	Число точек сетки $N^3$	Время решения $T$	Ускорение $S$	Эффективность
1	$1000 \times 1000$	379.135		
8	$1000 \times 1000$	56.7781	6.78	0.85
16	$1000 \times 1000$	27.7419	13.67	0.85
32	$1000 \times 1000$	13.9754	27.13	0.85
128	$1000 \times 1000$	4.39367	86.3	0.68
1	$2000 \times 2000$	2979.66		
8	$2000 \times 2000$	478.44	6.227	0.78
16	$2000 \times 2000$	241.593	12.33	0.78
32	$2000 \times 2000$	115.166	25.87	0.80
128	$2000 \times 2000$	29.626	100.58	0.79



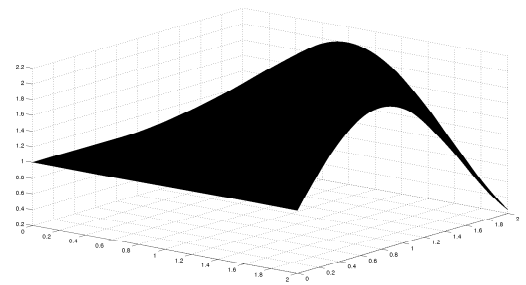
(a)



(b)



(c)



(d)

Рис. 1. Рисунки решения: (a), (c) точное решение, (b), (d) приближенное, погрешность решения = 0.00784845

## 6 Выводы

Выполненная программная реализация хорошо масштабируется. Однако при росте числа процессоров и уменьшении размера клетки накладные расходы на распараллеливание уменьшают эффективность параллельной программы.